

文章编号:1006-9941(XXXX)XX-0001-13

# 高燃烧效率含卤氧化剂包覆硼粉的制备及性能

刘睿,杨丹锋,张云龙,聂洪奇,严启龙

(西北工业大学 固体推进全国重点实验室,陕西 西安 710072)

**摘要:**为了提升硼粉的点火燃烧性能,采用高能球磨与喷雾干燥相结合的技术制备了4种微纳米B-Fe-Bi<sub>2</sub>O<sub>3</sub>@AP/PVDF复合物,根据其高热值和高燃烧效率的特点将四种复合物命名为μBHH<sub>c</sub>、μBHC<sub>e</sub>、nBHH<sub>c</sub>及nBHC<sub>e</sub>,并对其形貌结构、热反应性、点火延迟、质量燃速和凝聚相产物进行了表征分析。结果表明,μBHH<sub>c</sub>和μBHC<sub>e</sub>复合物在氩气中最大热值达9.7 kJ·g<sup>-1</sup>,最高燃烧效率达66.2%;在氧气中最大热值达14.6 kJ·g<sup>-1</sup>,最高燃烧效率达93.3%,氧化峰温在750~760 °C之间。nBHH<sub>c</sub>和nBHC<sub>e</sub>复合物在氩气中最大热值达9.9 kJ·g<sup>-1</sup>,最高燃烧效率达68.9%;在氧气中最大热值达14.8 kJ·g<sup>-1</sup>,最高燃烧效率达97.2%,氧化峰温在595~600 °C之间。各类复合物的最高燃烧温度达1954~2011 °C,其中nBHH<sub>c</sub>复合物的点火延迟最短(26 ms),且质量燃速最高(1.84 g·s<sup>-1</sup>);μBHC<sub>e</sub>复合物的点火延迟最长(39 ms),质量燃速也最低(0.80 g·s<sup>-1</sup>)。各类复合物燃烧产物主要由B<sub>2</sub>O<sub>3</sub>、B<sub>4</sub>C及少量未完全燃烧的硼组成,形貌包含5~10 μm的球体及10~20 μm的片状物质。

**关键词:**改性硼粉;表界面修饰;氧化剂/燃料一体化设计;点火燃烧性能

中图分类号:TJ55;V512

文献标志码:A

DOI:10.11943/CJEM2024062

## 0 引言

高能固体推进剂是未来导弹和航天技术发展的重要方向,一般采用添加金属/非金属/金属氢化物燃料和高能氧化剂来提升其能量水平。常用燃料主要有硼(B)、铝(Al)、镁(Mg)和三氢化铝(AlH<sub>3</sub>)。其中,硼因高质量热值和体积热值而备受青睐<sup>[1-2]</sup>,但硼存在点火困难及燃烧效率低的问题制约其发展<sup>[3-4]</sup>。为了解决这些问题,需要对硼进行表面改性以提升其点火燃烧性能<sup>[5-6]</sup>。

目前改性硼可用的材料包括氟聚物<sup>[7-8]</sup>、高能氧化剂<sup>[9-10]</sup>、金属燃料<sup>[11-12]</sup>等。氟聚物聚偏氟乙烯(PVDF)包覆可将硼的实测燃烧热提升4.2%,最高火焰温度由1817 °C提升至2077 °C,提升幅度约14.3%<sup>[13]</sup>,PVDF

燃烧时产生的HF气体与硼表面氧化膜B<sub>2</sub>O<sub>3</sub>反应(化学反应方程式:6HF+B<sub>2</sub>O<sub>3</sub>→2BF<sub>3</sub>+3H<sub>2</sub>O)<sup>[14-15]</sup>,从而改善了硼点火和燃烧性能<sup>[16]</sup>。氧化剂高氯酸铵(AP)包覆可将硼点火延迟时间降低18.0%(40.95 ms降低至33.60 ms)<sup>[17]</sup>,AP分解放热可有效提升硼周围温度,同时酸性物质刻蚀促使硼表面氧化膜迅速破裂<sup>[18-19]</sup>。金属燃料铁(Fe)合金化改性可使硼燃烧温度由2607 °C提升至2796 °C,提升幅度约7.25%<sup>[20]</sup>,由于合金化过程为放热反应,降低了硼点火温度,进而促进硼点火燃烧<sup>[21-22]</sup>。此外,金属氧化物氧化铋(Bi<sub>2</sub>O<sub>3</sub>)包覆改性可使硼点火延迟时间由66 ms降低至36 ms,降低约54.5%,它主要通过凝相反应降低化学反应活化能来加快点火燃烧进程<sup>[23]</sup>。因此,采用适当添加剂对硼进行包覆,既可提升硼氧化反应速率,又可提升其能量释放效率。

此外,含卤AP/PVDF复合氧化剂体系已在Al改性中被广泛研究<sup>[24]</sup>。将AP和PVDF按优化比例1:1预混后包覆至Al表面,通过减小燃料与氧化剂的传质距离,使部分活性Al在暴露后迅速与氧化剂发生反应,迅速提升其反应速率及燃烧效率<sup>[25]</sup>。将燃烧催化剂添加在AP/PVDF复合氧化剂体系内可降低Al/AP和

收稿日期:2024-02-08;修回日期:2024-04-01

网络出版日期:2024-06-04

基金项目:国家自然科学基金(U2030202)

作者简介:刘睿(2000-),男,硕士研究生,主要从事金属燃料包覆改性研究。e-mail:lr2021260553@mail.nwpu.edu.cn

通信联系人:严启龙(1983-),男,教授,博导,主要从事含能材料制备及应用研究。e-mail:qilongyan@nwpu.edu.cn

**引用本文:**刘睿,杨丹锋,张云龙,等.高燃烧效率含卤氧化剂包覆硼粉的制备及性能[J].含能材料,DOI:10.11943/CJEM2024062.

LIU Rui,YANG Dan-feng,ZHANG Yun-long,et al. Preparation and Properties of Halogenated Oxidant Coated Modified Boron with High Combustion Efficiency[J]. Chinese Journal of Energetic Materials (Hanneng Cailiao), DOI:10.11943/CJEM2024062.

Al/催化剂扩散距离, 并增大催化剂有效催化作用面  
积, 同时避免直接将催化剂添加至粘结剂体系中与反  
应组分接触不良的问题<sup>[26]</sup>。

基于以上研究结果, 本研究选用 Fe 对硼表面合金化处理后, 将 AP/PVDF 复合氧化剂包覆其表面, 并引入  $\text{Bi}_2\text{O}_3$  作为催化剂, 设计制备了四种微纳米  $\text{B-Fe-Bi}_2\text{O}_3@\text{AP/PVDF}$  复合物, 根据其高热值和高燃  
烧效率的特点将四种复合物命名为  $\mu\text{BHH}_e$ 、 $\mu\text{BHC}_e$ 、  
 $n\text{BHH}_e$  及  $n\text{BHC}_e$ , 并对其形貌结构、热反应性、点火延  
迟、质量燃速和凝聚相产物进行了表征分析。

## 1 实验部分

### 1.1 实验材料与仪器

实验材料: 微米硼(粒径 1~5  $\mu\text{m}$ )由营口市辽滨化工有限公司提供, 纳米硼(粒径 500~700 nm)由湖北航天化学技术研究所提供。Fe(以团聚体形式存在, 粒径 1~9  $\mu\text{m}$ , 中值直径  $D_{50}$  为 2.6  $\mu\text{m}$ )由广州市宏新新材料科技有限公司提供,  $\text{Bi}_2\text{O}_3$ (粒径 100~300 nm, 中值直径  $D_{50}$  为 224 nm)由贤信新材料科技有限公司提供, PVDF(平均分子量 534000)由上海易恩化学技术有限公司提供, AP(100~125  $\mu\text{m}$ )由西安近代化学研究所提供。

仪器: 行星式球磨机(XQM-2-DW), 长沙天创粉末技术有限公司; 冷冻干燥机(FD-100), 上海田枫技术有限公司; 喷雾干燥机(YC-015), 上海雅程仪器设备有限公司; 扫描电子显微镜 SEM(ZEISS sigma500), 德国蔡司技术有限公司; 激光粒度仪(Mastersizer 3000), 马尔文设备有限公司; 氧弹量热仪(ZDHW-HN7000C), 鹤壁市华能电子科技有限公司; 热重-差示扫描量热仪 TG-DSC (NETZSCH、STA-692F5); 激光点火测试平台, 海御虹激光设备有限公司; 新型多功能推进剂燃烧诊断系统, 自研。

### 1.2 样品的制备

#### 1.2.1 微纳米硼的预处理

在微米硼中, 由于表面氧化膜的存在导致其点火困难。在纳米硼中, 还存在粒度不均匀的问题, 需要将大颗粒除去。通过预处理, 可除去微米硼中部分氧化膜, 也可使纳米硼在除去部分氧化膜的同时优化原材料粒径, 不同材料预处理过程如下:

微米硼的预处理: 在 500 mL 烧杯中加入 300 mL 去离子水, 称量 24 g NaOH 并转移至烧杯中, 配置浓度为 2 mol·L<sup>-1</sup> 的 NaOH 溶液。称量 50 g 微米硼, 并

将其加入 NaOH 溶液中, 在磁力搅拌器中 60 °C 搅拌反应 4 h。对搅拌后的液体抽滤, 将产物冷冻干燥 12 h 后得到处理后的微米硼。处理后硼元素含量由 91.8% 增长至 94.3%, O 元素含量由 5.3% 降低至 3.1%。对处理后的微米硼进行激光粒度测试, 发现其  $D_{10}$  为 0.5  $\mu\text{m}$ ,  $D_{50}$  为 1.9  $\mu\text{m}$ ,  $D_{90}$  为 6.6  $\mu\text{m}$ 。

纳米硼的预处理: 将细颗粒硼溶于乙醇溶液中, 静置 10 min 使其自然分层, 分层后将上层溶液用移液管进行分离, 并将分离后的溶液抽滤。将产物冷冻干燥 12 h 后得到处理后的细颗粒硼。对处理后的细颗粒硼进行激光粒度测试, 发现其  $D_{10}$  为 131 nm,  $D_{50}$  为 175 nm,  $D_{90}$  为 240 nm(图 1)。

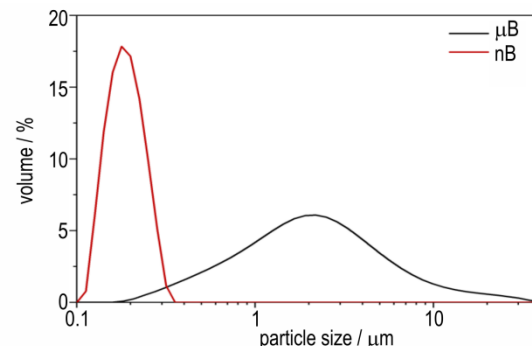


图 1 处理后微纳米硼的粒径分布图

Fig.1 Particle size distribution of micron and nano boron after processing

#### 1.2.2 $\mu\text{BHH}_e$ 、 $\mu\text{BHC}_e$ 、 $n\text{BHH}_e$ 及 $n\text{BHC}_e$ 的制备

高能球磨法和喷雾干燥法是常用的制备改性硼基复合物的方法。通过高能球磨可将材料粉末按比例机械混合, 并在磨球介质的反复冲撞下, 经受碰撞冲击而不断挤压变形。高强度较长时间的研磨使粉末充分细化, 最终成为均匀分布的复合粉末<sup>[27]</sup>。喷雾干燥可将材料雾化成细小液滴, 经过快速加热、溶剂蒸发后在表面张力的作用下干燥结晶于固相颗粒表面蒸干, 形成球型复合颗粒<sup>[28~29]</sup>。基于此, 本研究采用高能球磨与喷雾干燥相结合的技术制备微纳米  $\text{B-Fe-Bi}_2\text{O}_3@\text{AP/PVDF}$  复合物, 并根据热值和燃烧效率对复合物进行优选。制备流程分为两步: 首先利用高能球磨法制备  $\text{B-Fe-Bi}_2\text{O}_3$  复合物; 其次利用喷雾干燥法将含卤 AP/PVDF 复合氧化剂雾化至  $\text{B-Fe-Bi}_2\text{O}_3$  复合物表面形成微纳米  $\text{B-Fe-Bi}_2\text{O}_3@\text{AP/PVDF}$  复合物。

高能球磨制备  $\text{B-Fe-Bi}_2\text{O}_3$  复合物的制备: 在行星式球磨机上, 加入 9.7 g 预处理后硼粉、0.1 g Fe、0.2 g  $\text{Bi}_2\text{O}_3$  及 100 颗钢制小球后倒入 25 mL 的正己烷, 以 200 r·min<sup>-1</sup> 的转速旋转 150 min(顺时针旋转

30 min, 中间停 10 min, 再逆时针旋转 30 min, 转两回合), 将所得产品分离后干燥 12 h 得到 B-Fe-Bi<sub>2</sub>O<sub>3</sub> 复合物。球磨前后复合物氧化增重和氧化峰温差异较小, 证明球磨过程不影响活性硼含量。

喷雾干燥制备微纳米 B-Fe-Bi<sub>2</sub>O<sub>3</sub>@AP/PVDF 复合物的制备: 将 AP 和 PVDF 在 N,N-二甲基甲酰胺溶液中混合, 室温磁搅拌 2 h, 再加入高能球磨制备出的 B-Fe-Bi<sub>2</sub>O<sub>3</sub> 复合物, 室温磁搅拌 2 h, 制得的悬浮液用于喷雾造粒。最后, 采用喷雾干燥技术制备硼基复合物。喷雾干燥参数: 进料孔直径为 1 mm, 入口温度 125 °C, 风机速度 35 转, 流体流速为 8 mL·min<sup>-1</sup>。根据不同原材料配比(制备了 4 种典型微纳米 B-Fe-Bi<sub>2</sub>O<sub>3</sub>@AP/PVDF 复合物, 分别命名为 μBHH<sub>c</sub>, μBHC<sub>e</sub>, nBHH<sub>c</sub>, nBHC<sub>e</sub>)。后续对这四种典型复合物进行形貌结构、能量、点火及燃烧性能分析。

$$\text{Combustion Efficiency} = \frac{\text{Measured Heat Value} - \text{AP/PVDF System Heat Value}}{\text{Theoretical Heat Value of Boron Complex}} \times 100\%$$

采用激光点火平台对复合物的点火延迟进行分析。测试系统主要由同步触发的水冷 CO<sub>2</sub> 激光发生器、光纤光谱仪及高速相机组成。光谱仪(积分时间 3 ms)与 CO<sub>2</sub> 激光点火同步触发, 记录整个燃烧过程的光谱数据后, 计算位于为 547 nm 处为 BO<sub>2</sub> 的特征光谱峰强度达到其最强辐射度 10% 的时间, 该时间与点火的时间间隔即为待测样品的点火延迟时间。在开放环境(1 atm, 25 °C)中进行测试, 待测样品为粉末状<sup>[30]</sup>。

采用多功能燃烧诊断系统对复合物的火焰结构、燃烧温度、质量燃速等参数进行分析。该系统主要包括高压燃烧器(配蓝宝石和有机玻璃视窗各一个)、控压系统、控制系统(负责传达点火、充/放气、电磁阀开关和数据采集指令)、高速相机和高速红外热像仪。点火指令下达后, 利用两端接有 24 V 电源的镍铬点火丝( $\Phi=0.5$  mm)引燃复合物粉末(500 mg, 平铺在石英坩埚表面, 并压实), 采用 iX Cameras 高速相机记录燃面退移过程(曝光时间 10 μs, 帧率 250 fps), 将第一次出现火苗与最后一次出现火苗的时间间隔作为复合物的燃烧时间, 并计算不同复合物的质量燃速<sup>[31]</sup>。

## 2 结果与讨论

### 2.1 基于高热值和高燃烧效率的配方设计

研究基于高热值和高燃烧效率进行配方设计, 首先对 B/AP 复合物(机械研磨制备)进行热值及燃烧效

### 1.3 测试方法与实验条件

采用激光粒度仪对复合物粒度进行分析, 测试条件为: 200 mL 乙醇分散, 测试前超声 5 min; 采用扫描电镜对复合物微观结构进行分析, 测试条件为: 工作距离 8.5 mm, 加速电压 15 kV。采用热重-扫描量热仪测定复合物的热反应性, 测试条件为: 在空气环境中, 样品以 10 °C·min<sup>-1</sup> 的速率从 30 °C 加热到 1000 °C。采用氧弹量热仪对复合物的热值进行测量, 测试条件为: (i) 爆热: 条件 3 MPa 氩气, 采用不锈钢坩埚, 样品投入量为 600~800 mg, 采用两根点火丝助燃。(ii) 燃烧热: 条件 3 MPa 氧气, 采用石英坩埚, 样品投入量为 300~400 mg, 采用两根点火丝+棉线助燃, 得到的热值减去棉线热值 150 J 即为复合物热值。将不同复合物热值归一化处理得到硼基复合物的燃烧效率。燃烧效率的计算公式为:

率测试, 得到热值和燃烧效率最高的 B/AP 复合物配方; 其次使用 PVDF 部分替换 AP, 对 B/AP/PVDF(机械研磨制备)进行热值及燃烧效率测试, 最终得到高热值高燃烧效率的 B/AP/PVDF 复合物配方。

对 B/AP 复合物(机械研磨制备)进行热值及燃烧效率测试, 发现当 B:AP 投料比为 1:4 时复合物爆热最大达 8.2 kJ·g<sup>-1</sup>, 燃烧热最大达 12.9 kJ·g<sup>-1</sup>。当 B:AP 投料比为 1:6 时复合物在氩气中燃烧效率最大达 57.8%, 在氧气中燃烧效率最大达 87.3%。在这两种配比的基础上, 将 AP 部分替换为 PVDF 进行热值及燃烧效率测试, 数据随 AP 含量的变化趋势如图 2 所示(图 2a 和图 2c 是在 B:AP=1:4 基础上部分替换 PVDF 得到的热值和燃烧效率结果, 图 2b 和图 2d 是在 B:AP=1:6 基础上部分替换 PVDF 得到的热值和燃烧效率结果)。B/AP/PVDF 体系热值随 AP 含量的增加先增大后减小, 主要因为随着 AP 含量增加, 体系中可释放氧含量增加, 便于硼充分燃烧; 但当 AP 含量过多, 体系中氧含量达到饱和, 且因为 AP 热值小于 PVDF 热值, 所以体系热值会部分下降。当 B:AP:PVDF 质量投料比为 15:53:7 时热值最高, 其最高燃烧热达 14.6 kJ·g<sup>-1</sup>, 最高爆热达 9.2 kJ·g<sup>-1</sup>; 同时当 B:AP:PVDF 质量投料比为 10:53:7 时燃烧效率也最高, 在氧气下燃烧效率最高达 91.4%, 在氩气下燃烧效率最高达 60.2%。此外, 通过 Gauss 方法<sup>[24]</sup>拟合了体系燃烧热随硼基复合物中 AP 含量的变化曲线, 不同曲线 R<sup>2</sup>(COD) 为 0.9890、0.9579、0.9706 及 0.9816, 这些精度均大于 0.95, 拟合

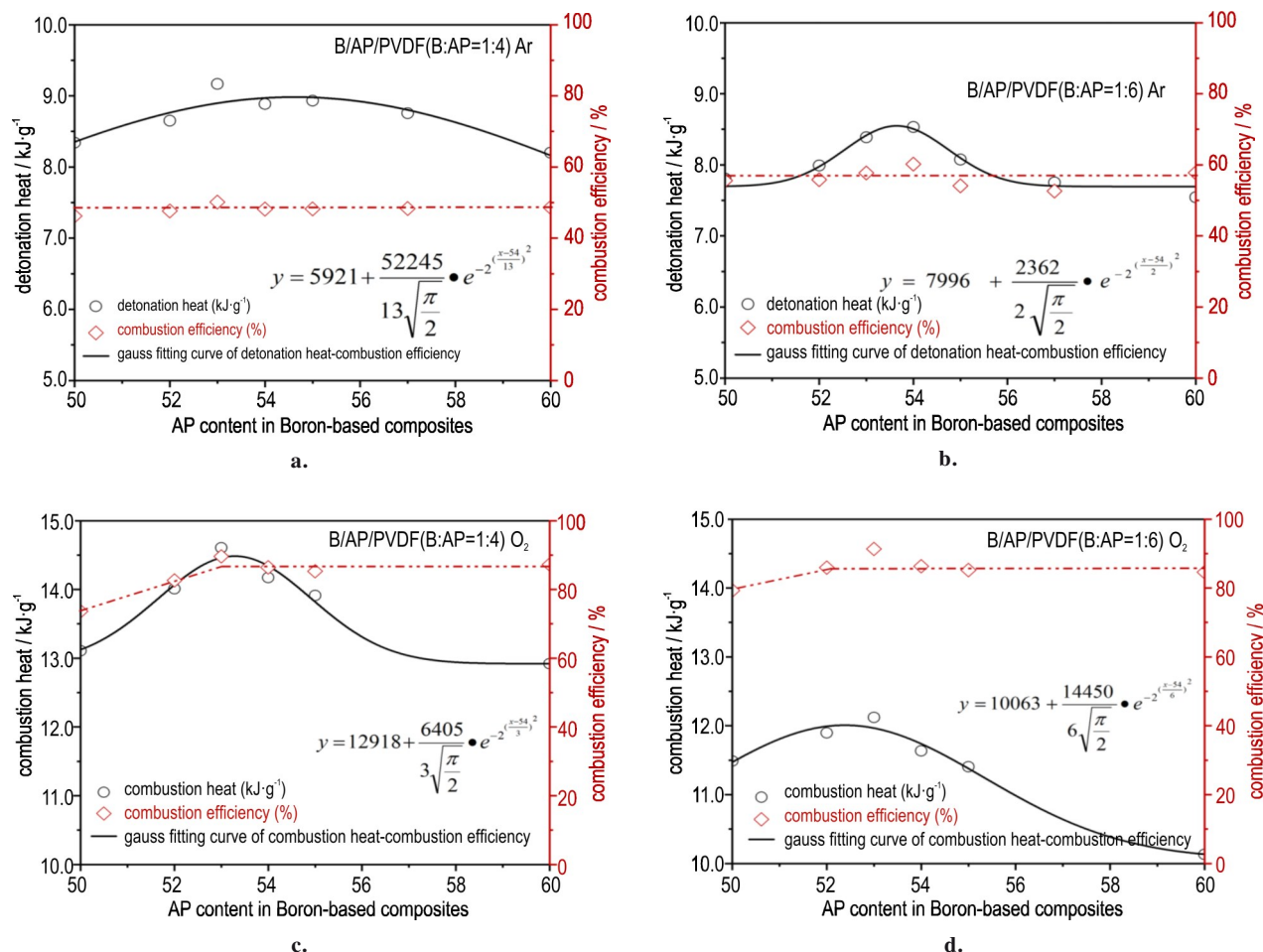


图2 热值和燃烧效率随B/AP/PVDF体系中AP含量变化的Gauss拟合图

Fig.2 Gauss fitting plot of calorific value and combustion efficiency with changes of AP content in B/AP/PVDF system

效果较好。所以在制备微纳米B-Fe-Bi<sub>2</sub>O<sub>3</sub>@AP/PVDF复合物时选取热值最高的质量投料比15:53:7和燃烧效率最高的质量投料比10:53:7进行制备实验。

## 2.2 μBHH<sub>c</sub>、μBHC<sub>e</sub>、nBHH<sub>c</sub>及nBHC<sub>e</sub>的能量性能

研究对所制备的μBHH<sub>c</sub>、μBHC<sub>e</sub>、nBHH<sub>c</sub>及nBHC<sub>e</sub>复合物进行了热值测量，并计算了它们的燃

烧效率，结果如表1所示。表1可见，μBHH<sub>c</sub>复合物最大爆热达9.7 kJ·g<sup>-1</sup>，最大燃烧热达14.6 kJ·g<sup>-1</sup>；μBHC<sub>e</sub>复合物在氧气中燃烧效率达93.3%，氩气中燃烧效率达66.2%。nBHH<sub>c</sub>复合物最大爆热达9.9 kJ·g<sup>-1</sup>，最大燃烧热达14.8 kJ·g<sup>-1</sup>；nBHC<sub>e</sub>复合物在氧气中燃烧效率达97.2%，氩气中燃烧效率达68.9%。

表1 μBHH<sub>c</sub>、μBHC<sub>e</sub>、nBHH<sub>c</sub>及nBHC<sub>e</sub>的热值

Table 1 Calorific value of μBHH<sub>c</sub>, μBHC<sub>e</sub>, nBHH<sub>c</sub>, and nBHC<sub>e</sub>

atmosphere	complex	mass calorific value / kJ·g <sup>-1</sup>	normalization / kJ·g <sup>-1</sup>	combustion Efficiency / %	density / g·cm <sup>-3</sup>	volumetric calorific value / kJ·cm <sup>-3</sup>
Ar	μBHH <sub>c</sub>	9.7	31.6	55.2	2.12	20.6
Ar	nBHH <sub>c</sub>	9.9	32.2	56.1	2.11	20.8
O <sub>2</sub>	μBHH <sub>c</sub>	14.6	51.5	89.9	2.12	31.2
O <sub>2</sub>	nBHH <sub>c</sub>	14.8	52.3	91.3	2.11	31.3
Ar	μBHC <sub>e</sub>	9.1	37.9	66.2	2.11	19.2
Ar	nBHC <sub>e</sub>	9.3	39.5	68.9	2.10	19.5
O <sub>2</sub>	μBHC <sub>e</sub>	12.3	53.5	93.3	2.11	26.1
O <sub>2</sub>	nBHC <sub>e</sub>	12.6	55.7	97.2	2.10	26.5

### 2.3 原材料、 $\mu\text{BHH}_c$ 、 $\mu\text{BHC}_e$ 、 $n\text{BHH}_c$ 及 $n\text{BHC}_e$ 的形貌结构

对原材料与制备的  $\mu\text{BHH}_c$ 、 $\mu\text{BHC}_e$ 、 $n\text{BHH}_c$  及  $n\text{BHC}_e$  复合物进行形貌结构表征,结果如图 3 所示。从图 3 可看出,不同原材料形状各异。微米硼(图 3a)的粒径在 1~5  $\mu\text{m}$  之间,中值直径  $D_{50}$  为 1.9  $\mu\text{m}$ ,其形状为无定形;纳米硼(图 3b)的粒径在 100~300 nm 之间,中值直径  $D_{50}$  为 175 nm,其形状为准球形;Fe(图 3c)以团聚体形式存在,团聚体粒径在 1~9  $\mu\text{m}$  之间,中值直径  $D_{50}$  为 2.6  $\mu\text{m}$ ;Bi<sub>2</sub>O<sub>3</sub>(图 3d)为准球形结构,粒径在 100~300 nm 之间,中值直径  $D_{50}$  为 224 nm;PVDF(图 3e)为球形颗粒,粒径在 100~300 nm 之间,中值直径  $D_{50}$  为 224 nm;AP(图 3g~h)宏观(比例尺 100  $\mu\text{m}$ )成多面体状,微观(比例尺 1  $\mu\text{m}$ )成片状。

$\mu\text{BHH}_c$ 、 $\mu\text{BHC}_e$ 、 $n\text{BHH}_c$  及  $n\text{BHC}_e$  复合物(图 3i~l)形状为类球形,多数复合物尺寸在 500 nm~2  $\mu\text{m}$  之间,少数复合物尺寸达到 10~20  $\mu\text{m}$ ,且多数样品不存在孔洞。 $n\text{BHH}_c$  及  $n\text{BHC}_e$  复合物的包覆效果好于  $\mu\text{BHH}_c$  及  $\mu\text{BHC}_e$  复合物,其尺寸更大,说明纳米硼与 AP/PVDF 体系适配性更好,界面接触效果增强了硼与 AP/PVDF 体系的传热,进而增强复合物的点火燃烧性能。

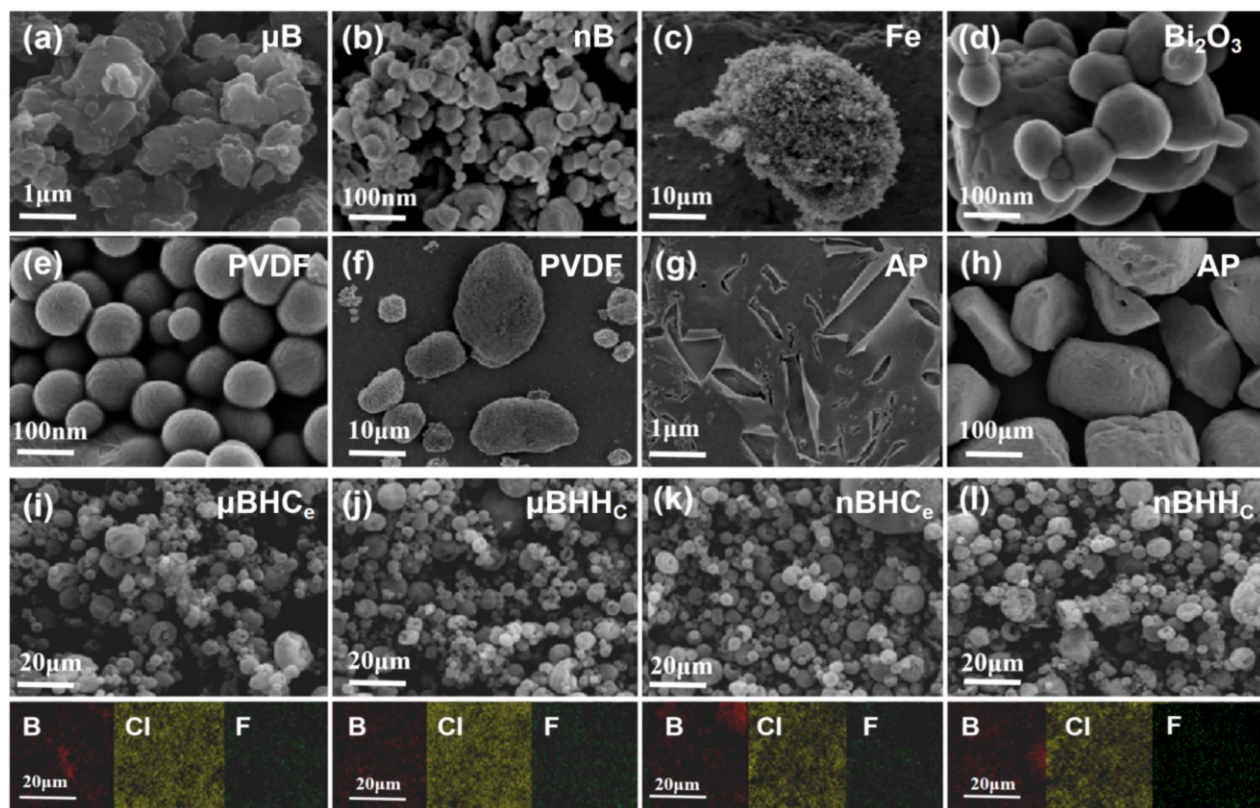


图 3 原材料、 $\mu\text{BHH}_c$ 、 $\mu\text{BHC}_e$ 、 $n\text{BHH}_c$  及  $n\text{BHC}_e$  复合物的 SEM 图

Fig.3 SEM images of raw materials and  $\mu\text{BHH}_c$ ,  $\mu\text{BHC}_e$ ,  $n\text{BHH}_c$  and  $n\text{BHC}_e$  composite

对制备的  $\mu\text{BHH}_c$ 、 $\mu\text{BHC}_e$ 、 $n\text{BHH}_c$  及  $n\text{BHC}_e$  复合物(图 3i~l)进行元素分析,发现 B,Cl 和 F 三种元素分布均匀。元素分析结果中 B 元素分布位置对应的是硼粉,Cl 元素分布位置对应的是氧化剂 AP,F 元素分布位置对应的是 PVDF。通过元素分析发现,硼与 PVDF 含量相似,AP 含量远远多于硼及 PVDF 含量,这与投料量相对应。类球型复合物的内部为硼,外部包覆部分 AP,PVDF 均匀分布在类球体内部及表面,说明高能球磨联合喷雾干燥制备具有优异的包覆效果。

### 2.4 $\mu\text{BHH}_c$ 、 $\mu\text{BHC}_e$ 、 $n\text{BHH}_c$ 及 $n\text{BHC}_e$ 的热反应活性

在 10  $^{\circ}\text{C} \cdot \text{min}^{-1}$  下对  $\mu\text{BHH}_c$ 、 $\mu\text{BHC}_e$ 、 $n\text{BHH}_c$  及  $n\text{BHC}_e$  复合物空气中热反应性分析,其 TG-DSC 曲线如图 4 所示,同时其热分析特征参数如表 2 所示。

由图 4 可看出,随着温度的升高,4 种复合物在空气中经历 AP 转晶(247~250  $^{\circ}\text{C}$ )、AP 低温分解(296~308  $^{\circ}\text{C}$ )、AP 高温分解(330~348  $^{\circ}\text{C}$ )和改性硼氧化(纳米 595~596  $^{\circ}\text{C}$ 、微米 749~758  $^{\circ}\text{C}$ )4 个热反应阶段。AP 转晶时,由斜方晶转变为立方晶,该反应为吸热过程且可逆。AP 高低温分解时,低温分解 30%,高温全

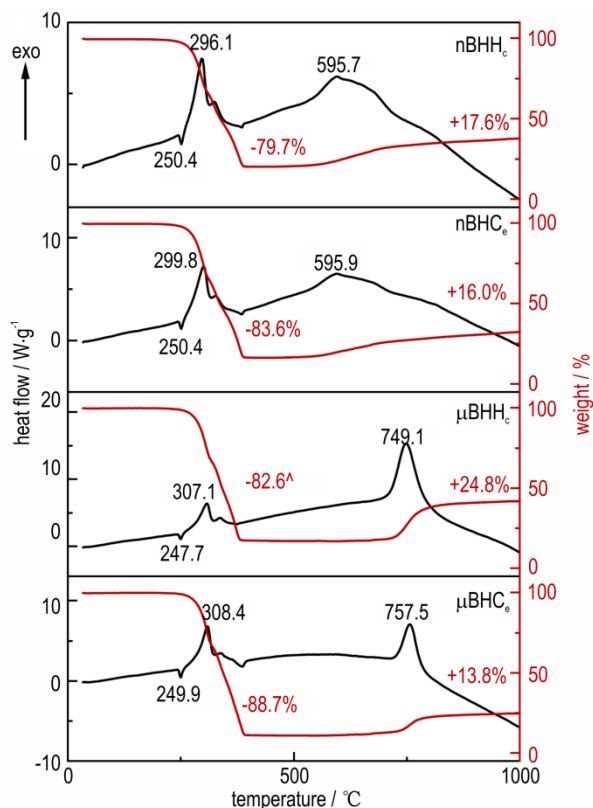


图 4  $\mu\text{BHH}_c$ 、 $\mu\text{BHC}_e$ 、 $n\text{BHH}_c$  及  $n\text{BHC}_e$  复合物在升温速率  $10\text{ }^{\circ}\text{C}\cdot\text{min}^{-1}$  空气条件下 TG-DSC 曲线

Fig.4 TG-DSC s curves of  $\mu\text{BHH}_c$ ,  $\mu\text{BHC}_e$ ,  $n\text{BHH}_c$  and  $n\text{BHC}_e$  in air at the heating rate of  $10\text{ }^{\circ}\text{C}\cdot\text{min}^{-1}$

表 2  $10\text{ }^{\circ}\text{C}\cdot\text{min}^{-1}$  空气条件下  $\mu\text{BHH}_c$ 、 $\mu\text{BHC}_e$ 、 $n\text{BHH}_c$  及  $n\text{BHC}_e$  复合物的 TG~DSC 热分析特征参数

Table 2 TG-DSC thermal analysis characteristic parameters of  $\mu\text{BHH}_c$ ,  $\mu\text{BHC}_e$ ,  $n\text{BHH}_c$  and  $n\text{BHC}_e$  in air at the heating rate of  $10\text{ }^{\circ}\text{C}\cdot\text{min}^{-1}$

Complex	$C_B$	$W_{AP_l}/\%$	$W_{Bg}/\%$	$T_{AP_l}/^{\circ}\text{C}$	$T_{AP_h}/^{\circ}\text{C}$	$T_{APh}/^{\circ}\text{C}$	$T_{Bo}/^{\circ}\text{C}$	$H_r/\text{kJ}\cdot\text{g}^{-1}$
$\mu\text{BHC}_e$	14.3%	88.7	13.8	249.9	308.4	348.4	757.5	3.0
$\mu\text{BHH}_c$	20.0%	82.6	24.8	247.7	307.1	342.3	749.1	3.5
$n\text{BHC}_e$	14.3%	83.6	16.0	250.4	299.8	337.9	595.9	3.4
$n\text{BHH}_c$	20.0%	79.7	17.6	250.4	296.1	330.5	595.7	3.7

Note:  $C_B$  means effective boron content,  $W_{AP_l}$  means AP decomposition quality loss,  $W_{Bg}$  means boron oxidation weight gain,  $T_{AP_l}$  means AP transition temperature,  $T_{AP_h}$  means AP low-temperature decomposition temperature,  $T_{APh}$  means AP high-temperature decomposition temperature,  $T_{Bo}$  means modified boron oxidation temperature, and  $H_r$  means heat release.

值得注意的是, 这 4 种复合物 AP 分解质量损失均达到了 80% 左右, 其中  $\mu\text{BHC}_e$  复合物质量损失最高达 88.7%。结合文献[14]及不同材料对硼的作用机理发现: 在 AP 分解时, 伴随着 PVDF 分解、Fe 和  $\text{Bi}_2\text{O}_3$  催化 2 个过程使复合物质量损失。具体表现为:(1)PVDF 分子中的 C-C 键和 C-H 键会提前断裂, 释放出 HF, HF 与硼表面的  $\text{B}_2\text{O}_3$  发生反应, 进而形成气相的  $\text{BF}_3$ 。(2) Fe 和  $\text{Bi}_2\text{O}_3$  对以上反应起催化作用, 导致硼粉表面更多的  $\text{B}_2\text{O}_3$  被反应或蒸发。所以前期质量损失包括 AP

部分解, 该反应为放热过程。低温分解阶段分解方程式为  $\text{NH}_4\text{ClO}_4=2\text{Cl}_2+2\text{N}_2\text{O}+3\text{O}_2+8\text{H}_2\text{O}$ , 高温分解阶段方程式为  $2\text{NH}_4\text{ClO}_4=\text{Cl}_2+2\text{NO}+\text{O}_2+4\text{H}_2\text{O}$ , 除了以上产物, 在低温分解阶段还会产生  $\text{ClO}_2$ 、 $\text{HCl}$ 、 $\text{N}_2$  等产物, 高温分解还有  $\text{NO}_2$ 、 $\text{HCl}$  等产物出现。复合物氧化时, 复合物中的硼与 AP 分解及空气中的氧气发生反应生成  $\text{B}_2\text{O}_3$ (反应方程式:  $4\text{B}+3\text{O}_2=2\text{B}_2\text{O}_3$ ), 该反应放出大量热量, 并决定不同复合物的总放热量。

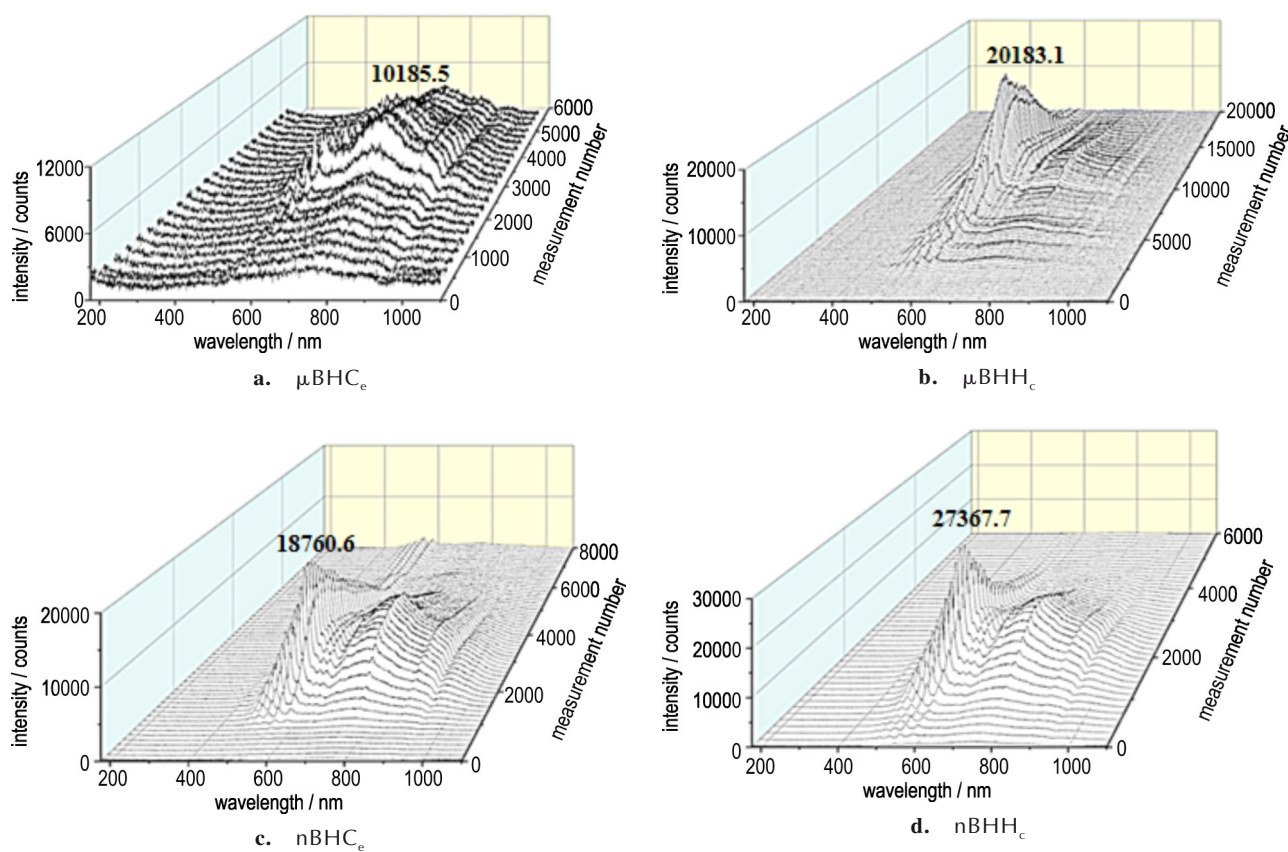
表 2 总结了 4 种复合物在升温速率  $10\text{ }^{\circ}\text{C}\cdot\text{min}^{-1}$  空气条件下 TG~DSC 热分析特征参数, 其中  $\mu\text{BHH}_c$  和  $\mu\text{BHC}_e$  复合物中 AP 低温分解集中在  $307\sim308\text{ }^{\circ}\text{C}$  左右, 硼氧化阶段的氧化温度集中在  $750\sim760\text{ }^{\circ}\text{C}$  左右;  $n\text{BHH}_c$  和  $n\text{BHC}_e$  复合物中 AP 低温分解集中在  $295\sim300\text{ }^{\circ}\text{C}$  左右, 硼氧化阶段的氧化温度集中在  $595\sim600\text{ }^{\circ}\text{C}$  左右。 $n\text{BHH}_c$  和  $n\text{BHC}_e$  复合物活性较  $\mu\text{BHH}_c$  和  $\mu\text{BHC}_e$  高。 $\mu\text{BHH}_c$  和  $n\text{BHH}_c$  复合物较  $\mu\text{BHC}_e$  和  $n\text{BHC}_e$  在 AP 分解阶段质量损失少, 在改性硼氧化阶段增重多, 是因为  $\mu\text{BHH}_c$  和  $n\text{BHH}_c$  复合物有效硼占比高的缘故。 $n\text{BHH}_c$  复合物放热最高为  $3.7\text{ kJ}\cdot\text{g}^{-1}$ ,  $\mu\text{BHC}_e$  复合物放热最低为  $3.0\text{ kJ}\cdot\text{g}^{-1}$ , 与此同时  $\mu\text{BHH}_c$  复合物放热  $3.5\text{ kJ}\cdot\text{g}^{-1}$ ,  $n\text{BHC}_e$  复合物放热  $3.4\text{ kJ}\cdot\text{g}^{-1}$ 。 $\mu\text{BHH}_c$  和  $n\text{BHH}_c$  复合物放热比  $\mu\text{BHC}_e$  和  $n\text{BHC}_e$  复合物高, 这与 2.2 节所得到的结论一致。

分解、PVDF 分解、 $\text{B}_2\text{O}_3$  被反应或蒸发 3 个过程。

## 2.5 $\mu\text{BHH}_c$ 、 $\mu\text{BHC}_e$ 、 $n\text{BHH}_c$ 及 $n\text{BHC}_e$ 的点火燃烧性能

### 2.5.1 激光点火性能

利用 1.3 节介绍的思路和方法对  $\mu\text{BHH}_c$ 、 $\mu\text{BHC}_e$ 、 $n\text{BHH}_c$  及  $n\text{BHC}_e$  复合物的点火性能进行探究, 4 种复合物的光谱强度变化趋势如图 5 所示, 其中 X 轴为波长, Y 轴为光谱强度, Z 轴为点火过程中所拍单独光谱图的序列号, 每 100 张光谱图间隔 1 ms。由图 5a~d

图 5  $\mu\text{BHH}_c$ 、 $\mu\text{BHC}_e$ 、 $n\text{BHH}_c$  及  $n\text{BHC}_e$  复合物光谱强度趋势图Fig.5 Trend of spectral intensity of  $\mu\text{BHH}_c$ ,  $\mu\text{BHC}_e$ ,  $n\text{BHH}_c$  and  $n\text{BHC}_e$ 

发现,各类复合物光谱强度随序列增加先增大后减小,最高光谱强度在 10000~30000 之间。不同复合物最大光谱强度较高的主要因素是 AP 复合。激光点火时由于其加热速率升高,AP 能量可瞬间释放出来加热硼颗粒,同时其分解生成的氧也有助于硼点火燃烧。在 4 种复合物中, $\mu\text{BHC}_e$ (图 5a)的最大光谱强度仅为 10185.5,而  $n\text{BHH}_c$ (图 5d)的最大光谱强度达 27367.7, $\mu\text{BHH}_c$ (图 5b)和  $n\text{BHC}_e$ (图 5c)的最大光谱强度分别为 20183.1 和 18760.6。 $\mu\text{BHH}_c$  和  $n\text{BHH}_c$  复合物较  $\mu\text{BHC}_e$  和  $n\text{BHC}_e$  最大光谱强度强,是因为  $\mu\text{BHH}_c$  和  $n\text{BHH}_c$  复合物有效硼含量更多并与 AP 接触更充分,硼与 AP 的比例更有利于复合物高效率点火燃烧。同比例下纳米硼基复合物较微米硼基复合物最大光谱强度强,是因为纳米硼基复合物比表面积更大,导致点火燃烧反应位点增多的缘故。

4 种复合物最大辐射位置处 200~1100 nm 之间的光谱如图 6a 所示,其中 BO 特征峰为 432 nm, $\text{BO}_2$  特征峰位于 518.9 nm 和 547.1 nm 处。此外,由于硼

存在杂质,还检测到 589 nm 处钠和 767 nm 处钾。 $\text{BO}_2$  峰辐射度随点火时间的关系如图 6b 所示, $\mu\text{BHC}_e$  的点火延迟仅为 39 ms,而  $n\text{BHH}_c$  的点火延迟达 26 ms, $\mu\text{BHH}_c$  和  $n\text{BHC}_e$  的点火延迟分别为 28 ms 和 37 ms。4 种复合物点火延迟变化趋势与最大光谱强度变化趋势相似,在此不再赘述分析。

## 2.5.2 火焰结构及传播特性

利用燃烧诊断法对  $\mu\text{BHH}_c$ 、 $\mu\text{BHC}_e$ 、 $n\text{BHH}_c$  及  $n\text{BHC}_e$  复合物进行火焰结构及传播特性燃烧探究实验,4 种复合物燃烧过程如图 7 所示。

由图 7 可看出,4 种复合物都发出独特的绿色火焰,这与硼燃烧发出的  $\text{BO}_2$  光谱相对应,同时说明硼是参与燃烧反应的主要成分。不同硼基复合物的燃烧过程大致可分为 3 个阶段:燃烧增长阶段、燃烧持续阶段和燃烧衰减阶段。由于燃烧持续阶段火焰曝光过度,在此只列出硼基复合物燃烧增长阶段和燃烧衰减阶段火焰结构拍摄图。在燃烧增长阶段,火焰从微弱的黄色火苗渐增大为剧烈的黄绿色火焰;在燃烧持续阶段,燃烧反应持续进行,释放大

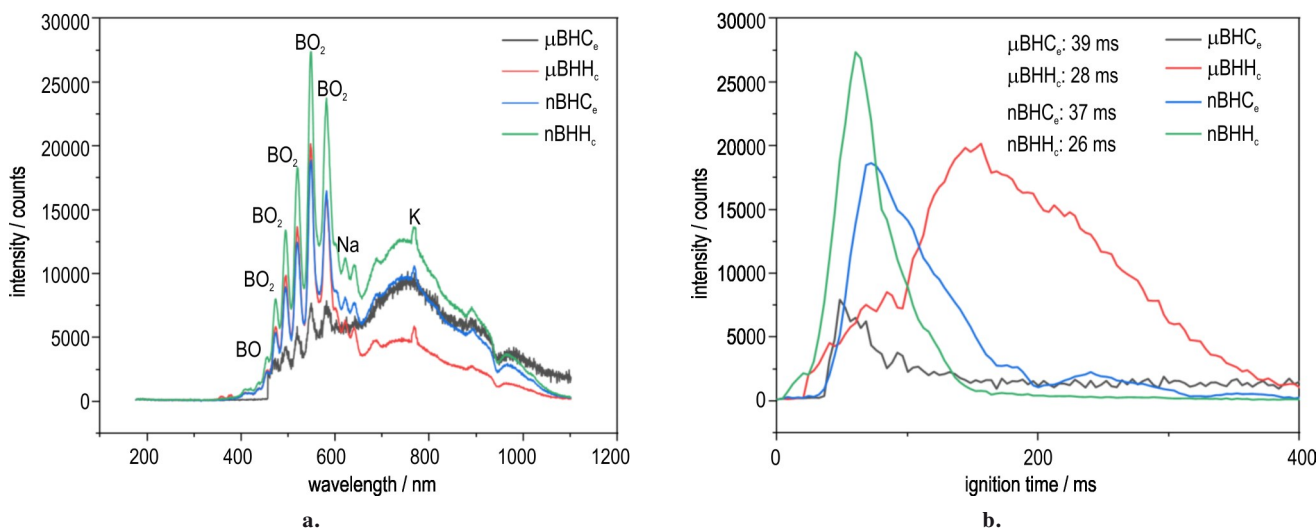


图 6  $\mu\text{BHH}_c$ 、 $\mu\text{BHC}_e$ 、 $n\text{BHH}_c$  及  $n\text{BHC}_e$  复合物最大辐射处 200~1100 nm 光谱 (a);  $\mu\text{BHH}_c$ 、 $\mu\text{BHC}_e$ 、 $n\text{BHH}_c$  及  $n\text{BHC}_e$  复合物  $\text{BO}_2$  峰辐射度随点火延迟的关系 (b)

**Fig.6** Spectra of the maximum radiation at 200–1100 nm for  $\mu\text{BHH}_c$ ,  $\mu\text{BHC}_e$ ,  $n\text{BHH}_c$  and  $n\text{BHC}_e$  composite (a); Relationship between peak radiance of  $\text{BO}_2$  and ignition delay time for  $\mu\text{BHH}_c$ ,  $\mu\text{BHC}_e$ ,  $n\text{BHH}_c$  and  $n\text{BHC}_e$  composite (b)

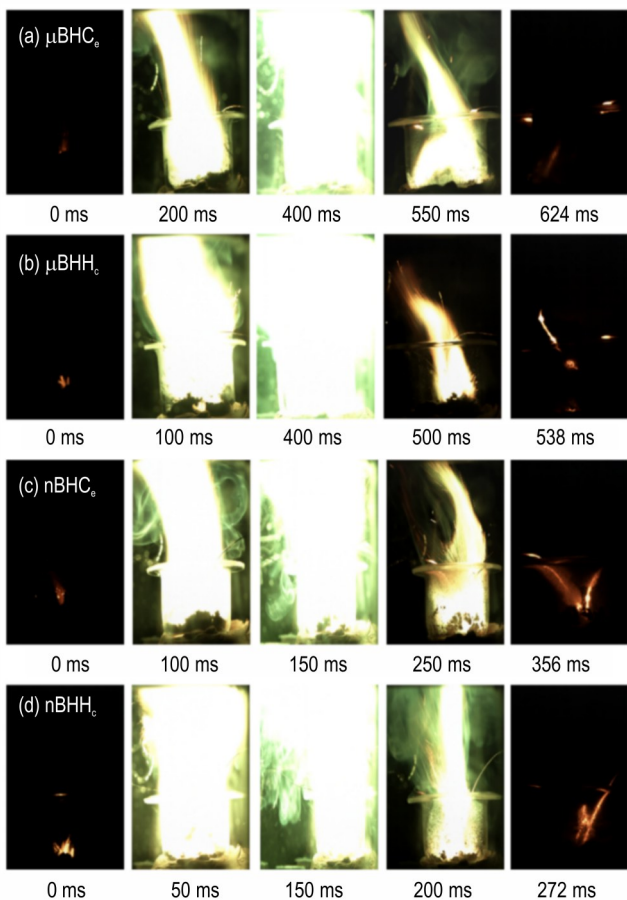


图 7  $\mu\text{BHH}_c$ 、 $\mu\text{BHC}_e$ 、 $n\text{BHH}_c$  及  $n\text{BHC}_e$  复合物高速相机拍摄图

**Fig.7** High speed camera captures images of flame structures of  $\mu\text{BHH}_c$ ,  $\mu\text{BHC}_e$ ,  $n\text{BHH}_c$  and  $n\text{BHC}_e$  composite

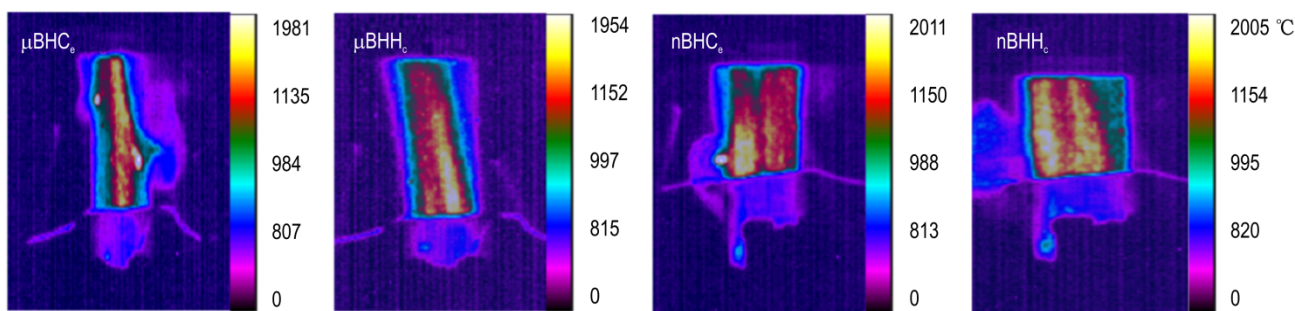
量气体, 火焰随着气体向上扩散, 形成类似蘑菇云的火焰簇。由于坩埚下方压有橡皮泥, 在稳定燃烧阶段可明显观察到橡皮泥被不断压制; 在燃烧衰减阶段, 火焰逐渐燃尽, 剩余的固体颗粒在点火平台上缓慢燃烧, 直至熄灭(图 7 中每种硼基复合物最后发光均为点火丝发光)。 $\mu\text{BHC}_e$  和  $\mu\text{BHH}_c$ (图 7a~b)在约 400 ms 时火焰达到最大,  $\mu\text{BHC}_e$ (图 7a)在 624 ms 时熄灭,  $\mu\text{BHH}_c$ (图 7b)在 538 ms 时熄灭。 $n\text{BHC}_e$  和  $n\text{BHH}_c$  在约 150 ms 时火焰达到最大(图 7c~d),  $n\text{BHC}_e$ (图 7c)在 356 ms 时熄灭,  $n\text{BHH}_c$ (图 7d)在 272 ms 时熄灭。表 3 记录了不同硼基复合物的总燃烧时间, 并计算了质量燃速。在这些复合物中,  $n\text{BHH}_c$  的质量燃速最高, 达  $1.84 \text{ g} \cdot \text{s}^{-1}$ ;  $\mu\text{BHC}_e$  的质量燃速仅为  $0.80 \text{ g} \cdot \text{s}^{-1}$ 。 $\mu\text{BHH}_c$  和  $n\text{BHH}_c$  复合物较  $\mu\text{BHC}_e$  和  $n\text{BHC}_e$  质量燃速快, 这与 2.4.1 节中  $\mu\text{BHH}_c$  和  $n\text{BHH}_c$  复合物最大光谱强度高、点火延迟短的原因相同。

除此之外, 利用红外摄像机获得了 4 种复合物达到最高燃烧温度时的燃烧波结构, 结果如图 8 所示。从图 8 的数据结果可以初步判断所有样品表面温度分布的相对差异。由于辐射参数很难准确获取, 实际温度可能会有部分差异, 但这些数值对于系统地比较四种复合物的燃烧性能具有重要意义。4 种复合物的最高燃温在 1954~2011 °C 之间, 其中  $n\text{BHH}_c$  和  $n\text{BHC}_e$  复合物的最高燃温( $n\text{BHC}_e$  2011 °C,  $n\text{BHH}_c$  2005 °C)

**表3**  $\mu\text{BHH}_c$ 、 $\mu\text{BHC}_e$ 、 $n\text{BHH}_c$ 及 $n\text{BHC}_e$ 复合物燃烧特征参数**Table 4** Combustion characteristic parameters of  $\mu\text{BHH}_c$ ,  $\mu\text{BHC}_e$ ,  $n\text{BHH}_c$  and  $n\text{BHC}_e$  composite

Complex	flame growth time / ms	duration of combustion / ms	flame attenuation time / ms	total combustion time / ms	mass burning rate / g·s <sup>-1</sup>
$\mu\text{BHC}_e$	280(44.3%)	228(36.1%)	124(19.6%)	624	0.80
$\mu\text{BHH}_c$	212(39.4%)	260(48.3%)	66(12.3%)	538	0.93
$n\text{BHC}_e$	100(27.8%)	96(26.7%)	164(45.5%)	356	1.40
$n\text{BHH}_c$	72(26.5%)	84(30.9%)	116(42.6%)	272	1.84

Note: The flame growth time is defined as the time from the appearance of the flame to the formation of the mushroom cloud flame cluster. The duration of combustion is defined as the duration of the mushroom cloud flame. The flame decay time is defined as the time from the weakening of the mushroom cloud flame to the disappearance of the flame. The mass burning rate is defined as the mass of B-based fuel divided by the total combustion time of B-based complex.

**图8**  $\mu\text{BHH}_c$ 、 $\mu\text{BHC}_e$ 、 $n\text{BHH}_c$ 及 $n\text{BHC}_e$ 复合物达到最高温度时红外拍摄图**Fig.8** Infrared images of  $\mu\text{BHH}_c$ ,  $\mu\text{BHC}_e$ ,  $n\text{BHH}_c$  and  $n\text{BHC}_e$  when the composites reach their highest temperature

较  $\mu\text{BHC}_e$  和  $\mu\text{BHH}_c$  复合物 ( $\mu\text{BHC}_e$  1981 °C,  $\mu\text{BHH}_c$  1954 °C) 高, 说明颗粒细化可以提升硼、氧化剂及金属的接触面积, 进而对点火燃烧有益。 $\mu\text{BHC}_e$  的最高燃温 (1981 °C) 和  $n\text{BHC}_e$  的最高燃温 (2011 °C) 分别高于  $\mu\text{BHH}_c$  (1954 °C) 和  $n\text{BHH}_c$  (2005 °C), 说明将更多的 AP 包覆到复合物中使硼与氧化剂 (AP 和 PVDF) 接触更加紧密, 增强复合物内部的传热, 进而使复合物温度升高。

## 2.6 $\mu\text{BHH}_c$ 、 $\mu\text{BHC}_e$ 、 $n\text{BHH}_c$ 及 $n\text{BHC}_e$ 的凝聚相燃烧产物

### 2.6.1 产物的形貌结构

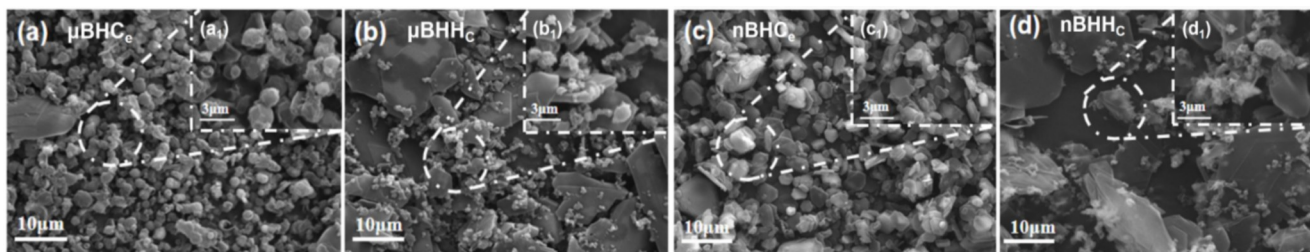
$\mu\text{BHH}_c$ 、 $\mu\text{BHC}_e$ 、 $n\text{BHH}_c$ 及 $n\text{BHC}_e$ 复合物凝聚相燃烧产物 (CCPs) 的显微镜照片如图 9 所示。由图 9 可以看出, 4 种复合物 CCPs 粒径在 5~20  $\mu\text{m}$  之间, 主要

由粒径为 5~10  $\mu\text{m}$  的球体和 10~20  $\mu\text{m}$  的片状产物构成。 $\mu\text{BHH}_c$  (图 9b) 和  $n\text{BHH}_c$  (图 9d) 的 CCPs 片状产物较  $\mu\text{BHC}_e$  (图 9a) 和  $n\text{BHC}_e$  (图 9c) 更多, 团聚更明显。由圆圈内小图 9(a<sub>1</sub>~d<sub>1</sub>) 发现, 这 4 种复合物 CCPs 球状产物均匀分布在片状产物表面上, 球状产物表面还存在部分絮状产物, 各类复合物 CCPs 形状复杂。

### 2.6.2 产物的物相组成

$\mu\text{BHH}_c$ 、 $\mu\text{BHC}_e$ 、 $n\text{BHH}_c$ 及 $n\text{BHC}_e$ 复合物燃烧产物的凝聚相燃烧产物 (CCPs) 的物相组成如图 10 所示。

由图 10 可发现: 4 种复合物 CCPs 相似, 主要由  $\text{B}_2\text{O}_3$ 、 $\text{B}_4\text{C}$  及少量未完全燃烧的硼组成。位于 14.5° 及 28.0° 处的  $\text{B}_2\text{O}_3$  衍射峰峰值较大<sup>[32]</sup>, 位于 21.0° 处的硼

**图9**  $\mu\text{BHH}_c$ 、 $\mu\text{BHC}_e$ 、 $n\text{BHH}_c$ 及 $n\text{BHC}_e$ 复合物燃烧产物的显微镜照片**Fig.9** Microscopic photos on the combustion products of  $\mu\text{BHH}_c$ ,  $\mu\text{BHC}_e$ ,  $n\text{BHH}_c$  and  $n\text{BHC}_e$  composite

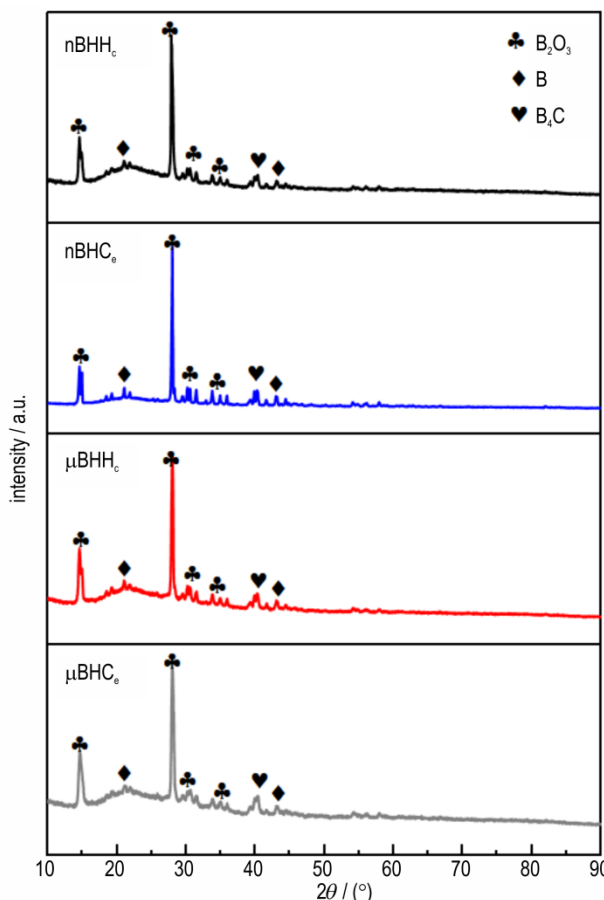
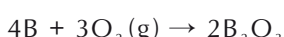
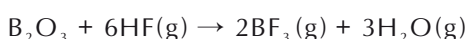


图 10  $\mu\text{BHH}_c$ 、 $\mu\text{BHC}_e$ 、n $\text{BHH}_c$  及 n $\text{BHC}_e$  复合物燃烧产物的显微镜照片

**Fig.10** Microscopic photos on the combustion products of  $\mu\text{BHH}_c$ ,  $\mu\text{BHC}_e$ , n $\text{BHH}_c$  and n $\text{BHC}_e$  composite

衍射峰峰值较小, 证明不同复合物均高效率燃烧。除了硼和  $\text{B}_2\text{O}_3$ , 在 CCPs 中还检测出了  $\text{B}_4\text{C}$ , 复合物燃烧可能发生的反应如下<sup>[7,24]</sup>:



AP 分解产生  $\text{N}_2$ 、 $\text{H}_2\text{O}$ 、 $\text{Cl}_2$  和  $\text{O}_2$  等气体, PVDF 分解产生气态 HF 和固态 C。HF 与硼表面氧化膜  $\text{B}_2\text{O}_3$  反应生成气态  $\text{BF}_3$  和  $\text{H}_2\text{O}$ , 因此, 覆盖在硼表面的氧化膜很容易被去除, 便于硼与氧直接接触。当硼表面的氧化膜除去后, 裸露的硼会与 PVDF 分解产生的碳和体系中的氧发生反应, 硼与碳反应生成  $\text{B}_4\text{C}$ <sup>[7]</sup>, 硼与氧反应生成  $\text{B}_2\text{O}_3$ , 两者反应存在竞争关系。 $\text{B}_4\text{C}$  出现表明硼与碳反应, 相应与氧反应的硼就更少, 所以  $\text{B}_4\text{C}$  的出现对硼燃烧没有明显益处。

### 3 结论

以微纳米硼、AP、PVDF、Fe、 $\text{Bi}_2\text{O}_3$  为原材料, 采用高能球磨与喷雾干燥相结合的工艺, 成功制备了 4 种微纳米 B-Fe- $\text{Bi}_2\text{O}_3$ @AP/PVDF 复合物, 根据其高热值和高燃烧效率的特点将 4 种复合物命名为  $\mu\text{BHH}_c$ 、 $\mu\text{BHC}_e$ 、n $\text{BHH}_c$  及 n $\text{BHC}_e$ , 并对其形貌结构、热反应性、点火延迟、质量燃速和凝聚相产物进行了表征分析。主要研究结论如下:

(1) 当 B-Fe- $\text{Bi}_2\text{O}_3$ /AP/PVDF 质量配比为 15:53:7 时, 其热值最高; 质量配比为 10:53:7 时, 其燃烧效率最高。 $\mu\text{BHH}_c$  复合物最大爆热达  $9.7 \text{ kJ}\cdot\text{g}^{-1}$ , 最大燃烧热达  $14.6 \text{ kJ}\cdot\text{g}^{-1}$ ;  $\mu\text{BHC}_e$  复合物在氧气中燃烧效率达 93.3%, 氩气中燃烧效率达 66.2%。n $\text{BHH}_c$  复合物最大爆热达  $9.9 \text{ kJ}\cdot\text{g}^{-1}$ , 最大燃烧热达  $14.8 \text{ kJ}\cdot\text{g}^{-1}$ ; n $\text{BHC}_e$  复合物在氧气中燃烧效率达 97.2%, 氩气中燃烧效率达 68.9%。

(2)  $\mu\text{BHH}_c$  和  $\mu\text{BHC}_e$  复合物氧化温度集中在  $750\sim760^\circ\text{C}$ , AP 的低温分解峰集中在  $307\sim308^\circ\text{C}$ ; n $\text{BHH}_c$  和 n $\text{BHC}_e$  复合物氧化温度集中在  $595\sim600^\circ\text{C}$ , AP 的低温分解峰集中在  $295\sim300^\circ\text{C}$ 。n $\text{BHH}_c$  和 n $\text{BHC}_e$  复合物热反应活性较  $\mu\text{BHH}_c$  和  $\mu\text{BHC}_e$  复合物高。

(3) 4 种硼基复合物的最高燃烧温度在  $1954\sim2011^\circ\text{C}$  之间, 其中 n $\text{BHH}_c$  复合物的点火延迟最短(26 ms), 且质量燃速最高( $1.84 \text{ g}\cdot\text{s}^{-1}$ );  $\mu\text{BHC}_e$  复合物的点火延迟最长(39 ms), 质量燃速也最低( $0.80 \text{ g}\cdot\text{s}^{-1}$ )。

(4) 4 种硼基复合物燃烧产物主要由  $\text{B}_2\text{O}_3$ 、 $\text{B}_4\text{C}$  及少量未完全燃烧的硼组成, 其形貌包含  $5\sim10 \mu\text{m}$  的球体及  $10\sim20 \mu\text{m}$  的片状产物。

### 参考文献:

- [1] LIU D, XIA Z, HUANG L, et al. Boron particle combustion in solid rocket ramjets [J]. *Journal of Aerospace Engineering*, 2014, 28(4): 04014112.
- [2] 鲍福廷, 黄熙君, 张振鹏. 固体火箭冲压组合发动机[M]. 北京: 中国宇航出版社, 2006.
- [3] BAO Fu-ting, HUANG Xin-jun, ZHANG Zhen-peng. *Integral Solid Propellant Ramjet Rocket Motor* [M]. Beijing: China Aerospace Publishing House, 2006.
- [4] PANG W, RICHAND A.Y, DELUCA L.T, et al. Boron based composite energetic materials (B-CEMs): Preparation, combustion and applications [J]. *Progress in Energy and Combustion Science*, 2022, 93: 101038.
- [5] LIU R, YANG D, XIONG K, et al. Fabrication and characterization of multi-scale coated boron powders with improved combustion performance: A brief review [J]. *Defence Technology*, 2024, 31: 27–40.

- [5] YANG D, LIU R, LI W , et al. Recent advances on the preparation and combustion performances of boron-based alloy fuels [J]. *Fuel*, 2023, 342:127855.
- [6] LIU Y, WANG Y, LIU Y, et al. High calorific values boron powder: Ignition and combustion mechanism, surface modification strategies and properties[J]. *Molecules*, 2023, 28:3209.
- [7] YAN L, ZHU B, CHEM J, et al. Study on nano-boron particles modified by PVDF to enhance the combustion characteristics [J]. *Combustion and Flame*, 2022, 248:112556.
- [8] WANG J, MAO Y, CHEN J, et al. Surface engineering boron/graphite fluoride composite with enhanced ignition and combustion performances[J]. *Fuel*, 2022, 323:124374.
- [9] HU Y, WANG X, ZHANG J, et al. Encapsulated boron-based energetic spherical composites with improved reaction efficiency and combustion performance [J]. *Chemical Engineering Journal*, 2022, 433: 134478.
- [10] 王英红, 李葆萱, 胡松启, 等. AP粒度和包覆层对硼燃烧的影响[J]. 固体火箭技术, 2004(01):50~52+68.  
WANG Ying-hong, LI Bao-xuan, HU Song-qi, et al. Effect of AP particle size and coating on combustion of boron[J]. *Journal of Solid Rocket Technology*, 2004(01): 50~52+68.
- [11] 杨君龙. 硼/铝、硼/镁复合材料的制备及性能研究[D]. 南京:南京理工大学, 2014.  
YANG Jun-long. The Preparation and Properties of Boron/Aluminum and Boron/Magnesium Compound Materials[D]. Nanjing: Nanjing University of Science and Technology, 2014.
- [12] 陈冰虹, 刘建忠, 梁导伦, 等. 硼粉的包覆机理及工艺研究进展[J]. 火炸药学报, 2016, 39(5): 13~21.  
CHEN Bing-hong, LIU Jian-zhong, LIANG Dao-lun, et al. Effect of oxidant coating boron particle on the ignition and combustion characteristics of boron-based propellant [J]. *Chinese Journal of Explosives & Propellants*, 2016, 39(5):13~21.
- [13] KEERTHI V, NIE H, PISHARATH S, et al. Combustion characteristics of fluoropolymer coated boron powders[J]. *Combustion Science and Technology*, 2020:1~16.
- [14] CHENG L, HUANG C, YANG Y, et al. Preparation and combustion performance of B/PVDF/Al composite microspheres [C]//North American Thermal Analysis Society conference, 2019, 45:657~664.
- [15] BROWN R.C, KOLB C.E, YETTER R.A, et al. Kinetic modeling and sensitivity analysis for B/H/O/C/F combination systems[J]. *Combustion and Flame*, 1995, 101:221~238.
- [16] ZHU L, ZHU B, ZHAO X, et al. Using polyvinylidene fluoride to improve ignition and combustion of micron-sized boron powder by fluorination reaction [J]. *Chinese Journal of Aeronautics*, 2023, 10:64~76.
- [17] 席剑飞. 硼颗粒点火燃烧促进方法研究[D]. 杭州:浙江大学, 2015.  
XI Jian-fei. Research on promotion methods of boron particles ignition and combustion[D]. Hangzhou: Zhejiang University, 2015.
- [18] 庞维强. 硼团聚技术及其在富燃推进剂中的应用研究[D]. 西安:西北工业大学, 2006.  
PANG Wei-qiang The Technology of Aggregated Boron and Its Application in the Fuel-rich Solid Propellant[D]. Xi'an: Northwestern Polytechnical University, 2006.
- [19] 魏青, 李葆萱, 郁红勤. AP包覆硼对富燃推进剂药浆流变特性的影响[J]. 推进技术, 2003, 24(5):467~469.  
WEI Qing, LI Bao-xuan, TAI Hong-qin. Effect of boron coated with AP on the rheological properties of slurry of fuel rich propellant[J]. *Journal of Propulsion Technology*, 2003, 24(5) : 467~469.
- [20] KERRI-LEE Chintersingh, MIRKO Schoenitz, EDWARD L. Dreizin. Boron doped with iron: Preparation and combustion in air[J]. *Combustion and Flame*, 2019, 200:286~295.
- [21] 杨洪涛. 高活性硼粉复合物的制备与性能研究[D]. 南京:南京理工大学, 2017.  
YANG Hong-tao. Preparation and Reactivity of Highly Active Boron Composites [D]. Nanjing: Nanjing University of Science and Technology, 2017.
- [22] CHENG L, YANG H, MAJEED M.A, et al. B/Metal composites' thermochemical properties and their effect on the performance of an ammonium perchlorate propellant[J]. *Journal of Energetic Materials*, 2021, 39:344~360.
- [23] XI J, LIU J, YANG W, et al. Metal oxides as catalysts for boron oxidation[J]. *Journal of Propulsion and Power*, 2014, 30 (1):47~53.
- [24] CHEN S W, TANG D Y, ZHANG X X, et al. Enhancing the combustion performance of metastable Al@AP/PVDF nanocomposites by doping with graphene oxide [J]. *Engineering*, 2020, 9:1019~1027.
- [25] 王帅中. 催化型核壳 Al@PVDF/AP 的制备及性能研究[D]. 西安: 西北工业大学, 2022.  
WANG Shuai-zhong. Preparation and Performance of Core-shell Al@PVDF/AP Containing Catalysts [D]. Xi'an: Northwestern Polytechnical University, 2022.
- [26] WANG S Z, HUANG B B, CHEN S W, et al. High energy core-shell Al@PVDF/AP composites with enhanced combustion efficiency by doping of graphene-based carbohydrazide complexes as catalysts[J]. *Fuel*, 2022, 330:125592.
- [27] 杨素兰. 过渡金属表面修饰铝粉反应活性调控及释能机理研究[D]. 西安: 西北工业大学, 2023.  
YANG Su-lan. Study on the reactivity and energy release mechanisms of transition metals coated Al [D]. Xi'an: Northwestern Polytechnical University, 2023.
- [28] HE W, LIU P J, HE G Q, et al. Highly reactive metastable intermixed composites (MICs) : Preparations and characterizations[J]. *Advanced Materials*, 2018, 30:1706293.
- [29] MA X X, LI Y X, Hussain I, et al. Core-shell structured nano-energetic materials: preparation and fundamental properties[J]. *Advanced Materials*, 2020, 32: 2001291.
- [30] 吕杰尧. 铝/氧化剂界面修饰对推进剂燃烧性能影响研究[D]. 西安: 西北工业大学, 2021.  
LYU Jie-yao. The Effects of Interfacial Modification for Aluminum/Oxidizers on Combustion Performance of Propellants [D]. Xi'an: Northwestern Polytechnical University, 2021.
- [31] 何伟. 反应界面调控型铝基复合燃料的制备及应用研究[D]. 西安: 西北工业大学, 2020.  
HE W. Preparation and Evaluation of Aluminum-based Composite Fuels with Tunable Reactive Interfaces [D]. Xi'an: Northwestern Polytechnical University, 2021.
- [32] LIANG D L, LIU J Z, XIAO J W, et al. Energy release properties of amorphous boron and boron-based propellant primary combustion products [J]. *Acta Astronautica*, 2015, 112: 182~191.

## Preparation and Properties of Halogenated Oxidant Coated Modified Boron with High Combustion Efficiency

LIU Rui, YANG Dan-feng, ZHANG Yun-long, NIE Hong-qi, YAN Qi-long

(National Key Laboratory of Solid Rocket Propulsion, Northwestern Polytechnical University, Xi'an 710072, China)

**Abstract:** In order to improve the ignition and combustion performance of boron powder, four kinds of micro- and nano B-Fe-Bi<sub>2</sub>O<sub>3</sub>@AP/PVDF composite were prepared by high-energy ball milling combined with spray drying method. According to their high calorific value and high combustion efficiency, the four composite were named as  $\mu$ BHH<sub>c</sub>,  $\mu$ BHC<sub>e</sub>, nBHH<sub>c</sub>, and nBHC<sub>e</sub>. Their morphology, thermal reactivity, ignition delay time, mass burning rate and condensed phase combustion products were characterized and analyzed. The results show that the maximum calorific value of  $\mu$ BHH<sub>c</sub> and  $\mu$ BHC<sub>e</sub> composite in argon is 9.7 kJ·g<sup>-1</sup>, and the maximum combustion efficiency is 66.2 %. The maximum calorific value in oxygen is 14.6 kJ·g<sup>-1</sup>, the maximum combustion efficiency is 93.3 %, and the oxidation peak temperature is between 750 °C and 760 °C. The maximum calorific value of nBHH<sub>c</sub> and nBHC<sub>e</sub> composite in argon is 9.9 kJ·g<sup>-1</sup>, and the maximum combustion efficiency is 68.9 %. The maximum calorific value in oxygen is 14.8 kJ·g<sup>-1</sup>, the maximum combustion efficiency is 97.2 %, and the oxidation peak temperature is between 595 °C and 600 °C. The highest combustion temperature of all kinds of composite is between 1954 °C and 2011 °C. The ignition delay time of nBHH<sub>c</sub> composite is the shortest (26 ms), while the mass burning rate is the highest (1.84 g·s<sup>-1</sup>). The  $\mu$ BHC<sub>e</sub> composite has the longest ignition delay time (39 ms) and the lowest mass burning rate (0.80 g·s<sup>-1</sup>). The condensed phase combustion products of various composites are mainly composed of B<sub>2</sub>O<sub>3</sub>, B<sub>4</sub>C and a small amount of incompletely burned boron. The morphology includes 5–10 μm spheres and 10–20 μm flakes.

**Key words:** B powder modification; interface modification; integrated design of fuel and oxidizer; ignition and combustion performance

**CLC number:** TJ55;V512

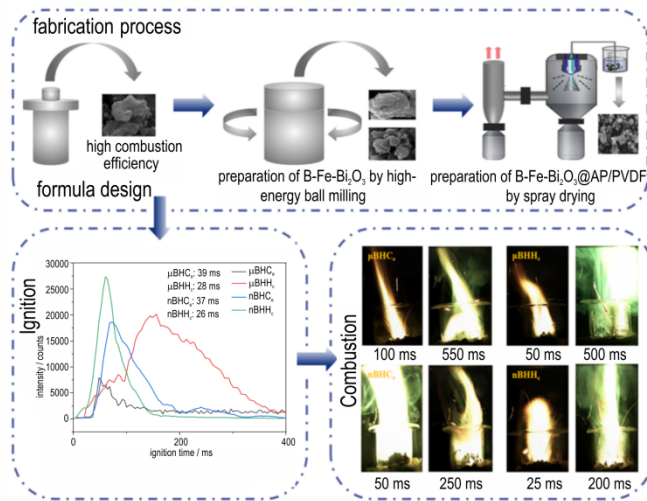
**Document code:** A

**DOI:** 10.11943/CJEM2024062

**Grant support:** National Natural Science Foundation of China (No. U2030202)

(责编: 姜梅)

图文摘要：



On the basis of alloying modification of B with Fe and  $\text{Bi}_2\text{O}_3$ , a modified boron based complex was obtained by introducing AP and PVDF coating modification. The calorific value and combustion efficiency of different complex ratios were measured using an oxygen bomb calorimeter, and a boron based complex formula with high reaction heat and combustion efficiency was obtained. At the same time, the oxidation peak temperature, ignition delay, maximum combustion temperature, and mass combustion rate of the complex were measured using TG-DSC, laser ignition platform, and multifunctional combustion diagnosis system. The promotion mechanism of Fe,  $\text{Bi}_2\text{O}_3$ , AP and PVDF on the ignition and combustion of B was clarified, which provided a reference for the coating modification of B by these materials.